

P4-2005-115

В. В. Пупышев\*

ЭКСТРАПОЛЯЦИЯ ДИФФЕРЕНЦИАЛЬНОГО  
СЕЧЕНИЯ ТРИПЛЕТНОГО  $pp$ -РАССЕЯНИЯ  
В ОБЛАСТЬ НИЗКИХ ЭНЕРГИЙ

Направлено в журнал «Письма в ЖЭТФ»

---

\*E-mail: [pupyshev@thsun1.jinr.ru](mailto:pupyshev@thsun1.jinr.ru)

Экстраполяция дифференциального сечения  
триплетного  $pp$ -рассеяния в область низких энергий

Показано, что в пределе низких энергий дифференциальное сечение триплетного  $pp$ -рассеяния, порожденное суммой ядерного и магнитного взаимодействий в кулоновском поле протонов, быстро осциллирует и имеет полюса второго порядка в направлении рассеяния вперед и назад. Для экстраполяции такого сечения в область энергий ниже 10 МэВ предложено простое низкоэнергетическое приближение. Обсуждаются новые явления (протон-протонные аналоги эффектов Мотта и Швингера).

Работа выполнена в Лаборатории теоретической физики им. Н. Н. Боголюбова ОИЯИ.

Extrapolation of Differential Cross-Section  
of Triplet  $pp$  Scattering to Low Energies

It is shown that in the low-energy limit the triplet  $pp$ -scattering differential cross-section, generated by the sum of the nuclear and magnetic interactions in the Coulomb field of the protons, oscillates rapidly and has the second-order poles in the directions of forward and backward scattering. For the extrapolation of this cross-section to a range of energies below 10 MeV, a simple low-energy approximation is proposed. Novel phenomena (proton-proton analogues of the Mott and Schwinger effects) are discussed.

The investigation has been performed at the Bogoliubov Laboratory of Theoretical Physics, JINR.

## ВВЕДЕНИЕ

Настоящая работа — продолжение нашего предыдущего исследования [1] роли магнитного взаимодействия в низкоэнергетическом триплетном  $pp$ -рассеянии. С этой целью используется та же общепринятая  $pp$ -модель [2]. Напомним ее.

Рассеяние протонов описывается стандартным уравнением Шредингера с полным взаимодействием  $V^{ca} = V^c + V^a$ , слагаемое которого  $V^a$  убывает при  $r \rightarrow \infty$  быстрее кулоновского потенциала  $V^c(r) = m_p(e/\hbar)^2/r = 1/rR$ , где  $m_p$  — масса протона,  $e$  — заряд электрона,  $r$  — расстояние между протонами, а  $R$  — боровский радиус  $pp$ -системы.

Теоретически возможны три случая  $a = s, m, ms$ : в первом случае  $a = s$  и  $V^a = V^s$  — короткодействующее ядерное взаимодействие, во втором случае  $a = m$  и  $V^a = V^m$  — магнитное взаимодействие, наконец, в третьем и наиболее реалистическом случае  $a = ms$  и  $V^a = V^{ms} = V^m + V^s$  — суперпозиция магнитного и ядерных взаимодействий. Магнитное взаимодействие  $V^m$  — сумма  $V^m = V^{mt} + V^{m\ell s}$  тензорного взаимодействия магнитных моментов протонов:

$$\begin{aligned} V^{mt} &\equiv b_t \frac{S_{12}}{r^3}, \quad b_t \equiv -\frac{m_p}{\hbar^2} \mu_p^2 \mu_0^2, \\ S_{12} &\equiv [3(\mathbf{s}_1 \cdot \mathbf{r})(\mathbf{s}_2 \cdot \mathbf{r}) - r^2(\mathbf{s}_1 \cdot \mathbf{s}_2)] / (4r^2) \end{aligned} \quad (1)$$

и спин-орбитального взаимодействия магнитного момента одного протона с электромагнитным полем другого протона:

$$V^{m\ell s} = b_{\ell s} \frac{(\mathbf{l} \cdot \mathbf{s})}{r^3}, \quad b_{\ell s} \equiv -\frac{m_p}{\hbar^2} 8\mu_0^2 \left( \mu_p - \frac{1}{4} \right). \quad (2)$$

Здесь  $\mu_p$  — магнитный момент протона в ядерных магнетонах  $\mu_0$ ,  $\mathbf{s}_1$  и  $\mathbf{s}_2$  — операторы спинов протонов, а  $\mathbf{s} \equiv \mathbf{s}_1 + \mathbf{s}_2$ ,  $\mathbf{l}$  и  $\mathbf{j} \equiv \mathbf{l} + \mathbf{s}$  — операторы спина углового и полного моментов  $pp$ -системы. Для вычислений в качестве  $V^s$  используется взаимодействие Риды с мягким кором [3].

Пусть  $k$  — импульс,  $E = (k\hbar)^2/m_p$  — энергия, а  $\theta$  и  $\varphi$  — углы рассеяния протонов,  $q \equiv kR$  и  $\eta \equiv 1/2q$  — безразмерные параметры,  $\delta_{\ell,j}^{c,a}$ ,  $\varepsilon_j^{c,a}$  и  $d\sigma^{c,a}(\theta; q)$  — фазы, параметры смешивания и дифференциальное сечение  $d\sigma^{c,a}/(d\theta \sin \theta)$  рассеяния, порожденного взаимодействием  $V^a$  в поле  $V^c$ . Фаза  $\delta_{\ell,j}^{c,a}$  равна разности между полной фазой  $\delta_{\ell,j}^{ca}$  рассеяния суперпозицией  $V^c + V^a$  и кулоновской фазой  $\delta_{\ell}^c$ . Фазы и сечения  $\delta_{\ell,j}^{c,a}$  и  $d\sigma^{c,a}$  в

случаях  $a = s, m, ms$  называем кулон-ядерными, кулон-магнитными и кулон-магнитно-ядерными.

Наша главная цель — восполнить имеющийся в литературе по теории низкоэнергетического  $pp$ -рассеяния пробел, а именно: вывести простую формулу, пригодную для экстраполяции кулон-магнитно-ядерного сечения  $d\sigma^{c,ms}$  в область низких энергий ( $E < 10$  МэВ) и явно описывающую все низкоэнергетические и угловые особенности такого сечения. Для обсуждения этих особенностей потребуются знания эффектов Мотта [4] и Швингера [5].

Эффект Мотта [6] — быстрые осцилляции дифференциального сечения кулоновского рассеяния двух тождественных частиц в пределе низких энергий, описываемые множителем  $\cos \{2\eta \ln [(\text{ctg}(\theta/2))]\}$ , где  $\theta$  — угол рассеяния, а  $\eta$  — параметр Зоммерфельда.

Эффект Швингера [7] — быстрый рост дифференциального сечения рассеяния  $d\sigma_n$  нейтрона на бесспиновом ядре в пределе малых углов рассеяния ( $d\sigma_n \approx \text{const} [\text{ctg}(\theta/2)]^2$ ,  $\theta \rightarrow 0$ ), обусловленный спин-орбитальным взаимодействием магнитного момента нейтрона с электромагнитным полем ядра.

## 1. АНАЛИЗ СЕЧЕНИЙ

Приступим к выводу низкоэнергетических ( $q \rightarrow 0$ ) приближений сечений  $d\sigma^{c,a}$ ,  $a = s, m, ms$ . Согласно табл. II работы [8]

$$d\sigma^{c,a} = \pi \left[ (1/2) |M_{00}^{c,a}|^2 + |M_{10}^{c,a}|^2 + |M_{01}^{c,a}|^2 + |M_{1,-1}^{c,a}|^2 + |M_{11}^{c,a}|^2 \right], \quad (3)$$

где амплитуды  $M_{nn'}^{c,a}(\varphi, \theta; q)$  — бесконечные ряды, содержащие присоединенные полиномы Лежандра  $P_\ell^n$ ,  $\ell = 1, 3, \dots$ , и частичные амплитуды

$$\begin{aligned} \alpha_{\ell,j}^{c,a} &= \exp(2i\delta_\ell^c) \left[ \cos 2\varepsilon_j^{c,a} \exp(2i\delta_{\ell,j}^{c,a}) - 1 \right], \\ \alpha_j^{c,a} &= i \sin 2\varepsilon_j^{c,a} \exp \{ i[\delta_{j+1,j}^{c,a} + \delta_{j-1,j}^{c,a}] \}. \end{aligned} \quad (4)$$

Например,

$$\begin{aligned} M_{10}^{c,a} &= R \frac{\exp(-i\varphi)}{\sqrt{2}iq} \sum_{\ell=1,3,\dots} \left\{ \alpha_{\ell,\ell+1}^{c,a} - \alpha_{\ell,\ell-1}^{c,a} + \right. \\ &\left. + \left[ \frac{\ell+2}{\ell+1} \right]^{1/2} \alpha_{\ell+1}^{c,a} - \left[ 1 - \frac{1}{\ell} \right]^{1/2} \alpha_{\ell-1}^{c,a} \right\} P_\ell^1(\cos \theta). \end{aligned}$$

Каждый ряд  $M_{nn'}^{c,a}$  представим в виде

$$M_{nn'}^{c,a} = M_{nn'}^{c,a}(j \leq 2) + M_{nn'}^{c,a}(j > 2), \quad (5)$$

где конечная подсумма  $M_{nn'}^{c,a}(j \leq 2)$  — вклад в амплитуду  $M_{nn'}^{c,a}$  от  $pp$ -состояний с  $j \leq 2$ , а бесконечный ряд  $M_{nn'}^{c,a}(j > 2)$  — вклад от всех остальных состояний. Как известно [1], при  $E < 10$  МэВ в любом из случаев  $a = s, m, ms$  все параметры  $\delta_{\ell,j}^{c,a}$  и  $\varepsilon_j^{c,a}$  много меньше единицы, поэтому для всех парциальных амплитуд (4) полагаем  $\alpha_{\ell,j}^{c,a} \approx 2i \exp(2i \delta_{\ell}^c) \delta_{\ell,j}^{c,a}$  и  $\alpha_j^{c,a} \approx 0$ .

Исследуем кулон-ядерное ( $a = s$ ) рассеяние. При  $q \rightarrow 0$  все кулон-ядерные фазы быстро убывают:

$$\delta_{\ell,j}^{c,s}(q) \sim q^{2\ell+1} \exp(-\pi\eta). \quad (6)$$

Поэтому основной вклад в амплитуды  $M_{nn'}^{c,s}$  дают  $pp$ -состояния с  $j < 2$  и верно стандартное приближение:  $M_{nn'}^{c,s} \approx M_{nn'}^{c,s}(j < 2)$ . В этом приближении кулон-ядерное сечение (3) равно сумме  $d\sigma_2^{c,a}$ ,  $a = s$ ,

$$d\sigma_2^{c,a} \equiv \pi(R/q)^2 \left\{ \left[ 2(\delta_{1,0}^{c,a} + 2\delta_{1,2}^{c,a})^2 + 9(\delta_{1,1}^{c,a} + \delta_{1,2}^{c,a})^2 \right] (\cos\theta)^2 + \right. \\ \left. + \left[ (9/2)(\delta_{1,1}^{c,a} - \delta_{1,2}^{c,a})^2 + 2(\delta_{1,2}^{c,a} - \delta_{1,0}^{c,a})^2 \right] (\sin\theta)^2 \right\}. \quad (7)$$

В этой сумме для всех фаз  $\delta_{\ell,j}^{c,s}$  верно приближение [1]

$$\delta_{1,j}^{c,s} \approx \bar{\delta}_{1,j}^{c,s} \equiv -q^3 C_1^2(\eta) A_{1,j}^{c,s} [1 + h^c(\eta) q^3 C_1^2(\eta) A_{1,j}^{c,s}], \quad (8)$$

где  $h^c(\eta)$ ,  $C_1^2(\eta)$  — известные кулоновские функции, а  $A_{1,j}^{c,s}$  — вычисленные в [1] кулон-ядерные длины рассеяния в случае взаимодействия Риды с мягким кором.

Исследуем кулон-магнитное рассеяние ( $a = m$ ) в случае  $V^m = V^{m\ell s}$ , когда все фазы  $\delta_{\ell,j}^{c,m}$  имеют низкоэнергетические асимптотики [1, 9]

$$\tilde{\delta}_{\ell,j}^{c,m}(q) = [j(j+1) - \ell(\ell+1) - s(s+1)] \tau_{\ell}(q), \quad (9) \\ \tau_{\ell}(q) \equiv -q \frac{b_{\ell s} 2\ell + 1 - \eta[\pi - 2\text{Im} \psi(\ell + 1 + i\eta)]}{R 2\ell(\ell+1)(2\ell+1)},$$

где  $s = 1$ , а  $\psi$  — пси-функция. Борновское приближение фаз  $\delta_{\ell,j}^{c,m} \approx \tilde{\delta}_{\ell,j}^{c,m}$  порождает борновское приближение амплитуд:  $M_{nn'}^{c,m} \approx \tilde{M}_{nn'}^{c,m}$ . Так как из пяти амплитуд  $\tilde{M}_{nn'}^{c,m}$  не равны нулю только две:

$$\tilde{M}_{10}^{c,m} = - \left[ \tilde{M}_{01}^{c,m} \right]^* = \sqrt{2} b_{\ell s} \exp(-i\varphi) [g(\theta; q) + g(\pi - \theta; q)], \quad (10) \\ g(\theta; q) \equiv \sum_{\ell=1,2,\dots} \exp[2i\delta_{\ell}^c(q)] \tau_{\ell}(q) P_{\ell}^1(\cos\theta),$$

то сечение (3),  $a = m$ , аппроксимируется формулой

$$d\sigma^{c,m} \approx d\tilde{\sigma}^{c,m} \equiv 2\pi |\tilde{M}_{10}^{c,m}|^2. \quad (11)$$

Старшее слагаемое низкоэнергетической асимптотики вспомогательного ряда  $g$  найдем способом, подробно описанным в [10]. Сначала убедимся в том, что это слагаемое порождается подсуммой ряда  $g$  с большими  $\ell \gg \eta$ . Затем в этой подсумме заменим кулоновские фазы и полиномы старшими слагаемыми их асимптотик при  $\ell \rightarrow \infty$ , полученный ряд аппроксимируем интегралом по  $\ell$ , асимптотику интеграла определим методом стационарной фазы. Точка стационарной фазы  $\ell_0 \sim \eta \operatorname{ctg}(\theta/2)$ , поэтому асимптотика ряда  $g$  определяется его слагаемыми с большими номерами  $\ell \sim \ell_0$ . Заменив в (10) ряд  $g$  его найденной асимптотикой, получим явные низкоэнергетические асимптотики амплитуд  $\tilde{M}_{10}$  и  $\tilde{M}_{01}$ :

$$\tilde{M}_{10}^{c,m} = - \left[ \tilde{M}_{01}^{c,m} \right]^* \sim \left[ i 2^{-1/2} \exp(-i\varphi) \right] b_{\ell_s} \exp[i\omega(\eta)] [\alpha(\theta) + \alpha(\pi - \theta)], \quad (12)$$

где по определению  $\omega(\eta) \equiv 2\eta(\ln \eta - 1)$ , а

$$\alpha(\theta) \equiv \frac{t(\theta)}{[\sin(\theta/2)]^{2i\eta}}, \quad t(\theta) \equiv \frac{2\operatorname{ctg}(\theta/2) + \theta - \pi}{1 + \cos \theta}. \quad (13)$$

Согласно (11)–(13) сечение  $d\sigma^{c,m}$  имеет низкоэнергетическую асимптотику

$$\begin{aligned} d\sigma^{c,m} &\approx d\tilde{\sigma}^{c,m} \sim \pi |b_{\ell_s}|^2 (|t(\theta)|^2 + |t(\pi - \theta)|^2) + \\ &+ 2\pi |b_{\ell_s}|^2 \cos\{2\eta \ln[\operatorname{tg}(\theta/2)]\} t(\theta)t(\pi - \theta). \end{aligned} \quad (14)$$

Эта асимптотика из-за моттовского множителя  $\cos\{2\eta \ln[\operatorname{tg}(\theta/2)]\}$  быстро осциллирует, а из-за функций  $t(\theta)$  и  $t(\pi - \theta)$  неограниченно возрастает при  $\theta \rightarrow 0$  и  $\theta \rightarrow \pi$  как  $|\operatorname{ctg}(\theta/2)|^2$  и  $|\operatorname{tg}(\theta/2)|^2$ . Так как асимптотику ряда  $g$  определяют его слагаемые с  $\ell \sim \ell_0 \sim \eta \operatorname{ctg}(\theta/2)$ , то при низких энергиях основной вклад в ненулевые амплитуды  $\tilde{M}_{10}^{c,m}$ ,  $\tilde{M}_{01}^{c,m}$ , в сечение  $d\sigma^{c,m}$  и его приближение  $d\tilde{\sigma}^{c,m}$  дают  $pp$ -состояния с большими полными моментами  $j \sim \ell_0$ .

Исследуем кулон-магнитно-ядерное рассеяние ( $a = ms$ ). Как было показано в [1], для корректного описания фаз  $\delta_{\ell,j}^{c,ms}$  в области низких энергий наряду с ядерным взаимодействием  $V^s$  следует учитывать оба магнитных взаимодействия  $V^{mt}$  и  $V^{m\ell s}$ , если  $j < 2$ , а в противном случае достаточно учитывать только взаимодействие  $V^{m\ell s}$ . Поэтому при  $j < 2$  используем точные фазы  $\delta_{\ell,j}^{c,ms}$ , порожденные суммой  $V^s + V^{mt} + V^{m\ell s}$ , а при  $j > 2$  полагаем  $\delta_{\ell,j}^{c,ms} = \delta_{\ell,j}^{c,m} \approx \tilde{\delta}_{\ell,j}^{c,m}$ , где  $\tilde{\delta}_{\ell,j}^{c,m}$  — приближения (9) фаз  $\delta_{\ell,j}^{c,m}$ , порожденных взаимодействием  $V^{m\ell s}$ . Следовательно,  $M^{c,ms}(j > 2) \approx M^{c,m}(j > 2)$ , поэтому разбиения (5) приближаются суммами

$$M_{nn'}^{c,ms} \approx M_{nn'}^{c,m}(j \leq 2) + \tilde{M}_{nn'}^{c,m}(j > 2). \quad (15)$$

Как было показано выше,  $\tilde{M}_{nn'}^{c,m}(j > 2) = 0$ , если  $|n| = |n'|$ , а основной вклад в ненулевые ряды  $\tilde{M}_{10}^{c,m}$  и  $\tilde{M}_{01}^{c,m}$  дают  $pp$ -состояния с большими  $j$ . Поэтому подсуммы  $\tilde{M}_{10}^{c,m}(j > 2)$  и  $\tilde{M}_{01}^{c,m}(j > 2)$  этих рядов имеют те же низкоэнергетические асимптотики (12). В силу перечисленных свойств амплитуд  $\tilde{M}_{nn'}^{c,m}$  представлению (15) соответствует приближение сечения (3):

$$d\sigma^{c,ms} \approx d\tilde{\sigma}^{c,ms} \equiv d\tilde{\sigma}^{c,m} + d\sigma_{\text{int}} + d\sigma_2^{c,ms}, \quad (16)$$

где  $d\sigma_2^{c,ms}$  и  $d\tilde{\sigma}^{c,m}$  — сечения (7) и (14), а интерференционное сечение

$$d\sigma_{\text{int}} \equiv \pi b_{\ell_s}(R/q) \left[ 2(\delta_{1,2}^{c,ms} - \delta_{1,0}^{c,ms}) + \sqrt{3}(\delta_{1,1}^{c,ms} - \delta_{1,2}^{c,ms}) \right] \gamma_{\text{int}} \quad (17)$$

зависит от угла рассеяния  $\theta$  как функция

$$\begin{aligned} \gamma_{\text{int}} \equiv & \sin \{2\eta \ln [\sin (\theta/2)]\} t(\theta) \cos (\theta/2) + \\ & + \sin \{2\eta \ln [\cos (\theta/2)]\} t(\pi - \theta) \sin (\theta/2). \end{aligned} \quad (18)$$

В пределе  $q \rightarrow 0$  вклады в сечение (16) таковы, что

$$d\tilde{\sigma}^{c,m} = O(b_{\ell_s}^2) \neq 0, \quad d\sigma_{\text{int}} = O[b_{\ell_s}(b_t + b_{\ell_s})q^2], \quad d\sigma_2^{c,ms} = O[(b_t + b_{\ell_s})^2 q^4]. \quad (19)$$

Вклад  $d\tilde{\sigma}^{c,m}$  осциллирует и сингулярен при  $\theta = 0, \pi$ ; вклад  $d\sigma_{\text{int}}$  осциллирует, но несингулярен; вклад  $d\sigma_2^{c,ms}$  несингулярный и не осциллирует. Поэтому при низких энергиях сечение  $d\sigma^{c,ms}$  имеет особенности: оно слабо зависит от энергии, неограниченно растет в направлении рассеяния вперед ( $\theta = 0$ ) и назад ( $\theta = \pi$ ) и быстро осциллирует по углу  $\theta$ .

Слабая зависимость от энергии и неограниченное возрастание сечения  $d\sigma^{c,ms}$  в направлении рассеяния вперед ( $\theta = 0$ ) как  $[\text{ctg}(\theta/2)]^2$  — особенности того же типа, что и у швингеровского сечения  $d\sigma_n \approx \text{const} [\text{ctg}(\theta_n/2)]^2$ , и порождены взаимодействиями одной и той же природы, а именно: взаимодействием магнитного момента одной частицы с электромагнитным полем другой. Поэтому ожидаемый в триплетном  $pp$ -рассеянии эффект, проявляющийся как эти особенности сечения  $d\sigma^{c,ms}$ , является кулон-магнитным  $pp$ -аналогом эффекта Швингера.

Быстрые осцилляции сечения  $d\sigma^{c,ms}$  по углу в пределе низких энергий — та же особенность, что и у сечения кулоновского рассеяния двух любых тождественных частиц, и обусловлена тождественностью и кулоновским взаимодействием протонов. Поэтому второй ожидаемый в триплетном  $pp$ -рассеянии эффект, проявляющийся как такие осцилляции сечения  $d\sigma^{c,ms}$ , является кулон-магнитным  $pp$ -аналогом эффекта Мотта. Амплитуды осцилляций невелики, потому что осциллирующий вклад в сумму (14) при всех углах намного меньше ее первого и второго слагаемых, а согласно (19) другое осциллирующее слагаемое  $d\sigma_{\text{int}}$  сечения  $d\sigma^{c,ms}$  убывает при уменьшении энергии. Расчет сечений подтверждает эти выводы.

Выведем еще одно приближение сечения  $d\sigma^{c,ms}$ . Формулы (7), (16)–(18) — приближенные параметризации  $d\sigma^{c,s} \approx d\sigma_2^{c,s}$ ,  $d\sigma^{c,ms} \approx \tilde{d}\sigma^{c,ms}$  сечений  $d\sigma^{c,s}$  и  $d\sigma^{c,ms}$  через фазы  $\delta_{\ell,j}^{c,s}$  и  $\delta_{\ell,j}^{c,ms}$  с  $j \leq 2$ . Заменяем в этих формулах фазы  $\delta_{\ell,j}^{c,s}$  и  $\delta_{\ell,j}^{c,ms}$  соответственно приближениями  $\bar{\delta}_{\ell,j}^{c,s}$  и доказанными в [1] приближениями  $\delta_{\ell,j}^{c,ms} \approx \bar{\delta}_{\ell,j}^{c,s} + \tilde{\delta}_{\ell,j}^{c,m}$ , где  $\bar{\delta}_{\ell,j}^{c,s}$  и  $\tilde{\delta}_{\ell,j}^{c,m}$  — фазы (8) и (9). В итоге получим явные приближенные параметризации  $d\hat{\sigma}^{c,s}$  и  $d\hat{\sigma}^{c,ms}$  сечений  $d\sigma^{c,s}$  и  $d\sigma^{c,ms}$  кулон-ядерными длинами  $A_{\ell,j}^{c,s}$ . Их значения — единственная информация о ядерном взаимодействии, необходимая для вычисления приближения  $d\hat{\sigma}^{c,ms}$ . В этом смысле аппроксимация  $d\sigma^{c,ms} \approx d\hat{\sigma}^{c,ms}$  автомодельна относительно выбора ядерного взаимодействия.

## 2. РАСЧЕТ СЕЧЕНИЙ

Сечение  $d\sigma^{c,a}$  вычислялось при низких энергиях ( $E < 10$  МэВ) в двух случаях  $a = s$  и  $a = ms$ , но по одной и той же схеме. Для расчета фаз  $\delta_{\ell,j}^{c,a}$ ,  $a = s, ms$ ,  $j \leq 2$ , использовались уравнения для фазовых функций [1]. При  $j > 2$  полагалось, что  $\delta_{\ell,j}^{c,s} \equiv 0$ , а  $\delta_{\ell,j}^{c,ms} = \tilde{\delta}_{\ell,j}^{c,m}$ , т. е. при  $j > 2$  вклад в фазы  $\delta_{\ell,j}^{c,ms}$  от ядерного взаимодействия  $V^s$  не учитывался, а вклад  $\delta_{\ell,j}^{c,m}$  от магнитного взаимодействия  $V^m = V^{mls} + V^{mt}$  аппроксимировался суммой старших слагаемых их равномерных по  $\ell$  асимптотик (9) фаз при  $q \rightarrow 0$ . Все эти приближения, как упоминалось в [1] при анализе  $pp$ -фаз, вполне приемлемы, если  $E < 10$  МэВ. Полученные значения фаз использовались для вычисления конечных ( $\ell \leq \ell_{\max} < 20 \eta \operatorname{ctg}(\theta/2)$ ) подсумм всех бесконечных рядов  $M_{nn'}^{c,a}$ . Такой выбор  $\ell_{\max}$  обеспечивал вычисление с четырехзначной точностью изображенных на рис. 1 сечений  $d\sigma^{c,a}$ ,  $a = s, ms$ , и функции  $\chi \equiv \log [d\sigma^{c,ms}/d\sigma^{c,s}]$ . Вычисленное сечение  $d\sigma^{c,ms}$  сравнивалось с его приближениями  $d\tilde{\sigma}^{c,ms}$  и  $d\hat{\sigma}^{c,ms}$ . Оказалось, что при  $E < 10$  МэВ и  $0 < \theta < \pi$  относительная точность аппроксимаций  $d\sigma^{c,ms} \approx d\tilde{\sigma}^{c,ms}$  и  $d\sigma^{c,ms} \approx d\hat{\sigma}^{c,ms}$  соответственно равна  $10^{-3}$  и  $10^{-2}$ .

Рис. 1, *а* иллюстрирует  $pp$ -аналог эффекта Швингера, заключающийся в росте сечения  $d\sigma^{c,ms}$  в пределе малых углов ( $\theta \rightarrow 0$ ) рассеяния. При энергии  $E = 10$  кэВ сечение  $d\sigma^{c,ms}$  в масштабе рисунка неотличимо от сечения  $d\tilde{\sigma}^{c,m}$ , заданного формулой (14). Заметные осцилляции сечений  $d\sigma^{c,ms}$  — проявление  $pp$ -аналога эффекта Мотта. Как видно, сечения  $d\sigma^{c,s}$  и  $d\sigma^{c,ms}$  радикально разные.

Рис. 1, *б* — наглядное доказательство необходимости учета вклада магнитного взаимодействия при расчете дифференциального сечения  $d\sigma^{c,ms}$ . Видно, что при  $E \leq 200$  кэВ этот вклад существенно превышает вклад от ядерного взаимодействия и превышает тем больше, чем меньше энергия или угол  $\theta$ .



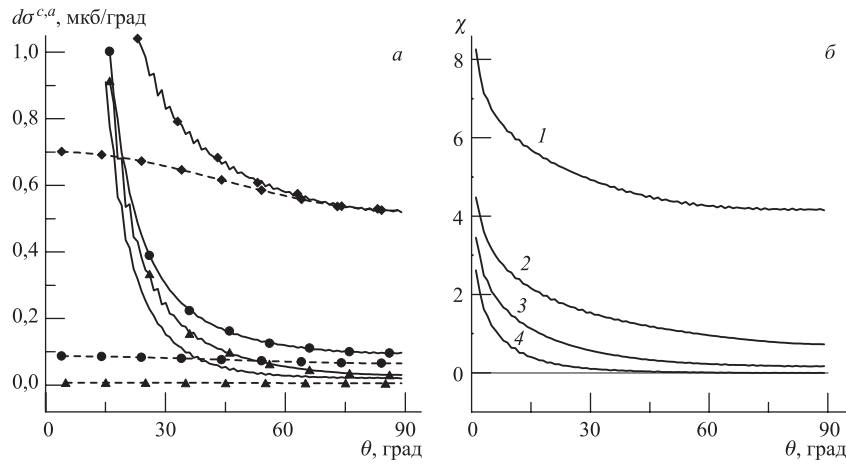


Рис. 1. а) Сечения  $d\sigma^{c,m.s}$  и  $d\sigma^{c,s}$  при  $E = 50, 100, 200$  кэВ — сплошные и штриховые кривые со значками  $\blacktriangle$ ,  $\bullet$  и  $\blacklozenge$  соответственно, сечение  $d\sigma^{c,m.s}$  при  $E = 10$  кэВ — кривая без значков; б) функция  $\chi(d\sigma, \theta)$  при  $E = 10, 50, 100, 200$  кэВ — кривые 1, 2, 3, 4 соответственно, тонкая линия — прямая  $\chi = 0$

## ЗАКЛЮЧЕНИЕ

Суммируем наши выводы. При энергиях ниже 10 МэВ взаимодействие магнитного момента протона с электромагнитным полем другого протона оказывает существенное влияние на поведение триплетного дифференциального сечения  $pp$ -рассеяния  $d\sigma^{c,m.s}$ , порожденного суммой ядерного и магнитного взаимодействий в кулоновском поле протонов. Благодаря магнитному взаимодействию при таких энергиях сечение  $d\sigma^{c,m.s}$  слабо зависит от энергии при углах рассеяния  $\theta < 30^\circ$  и  $\theta > 150^\circ$ , имеет полюса второго порядка в направлении рассеяния вперед и назад (кулон-магнитный  $pp$ -аналог эффекта Швингера), а вследствие тождественности протонов быстро осциллирует по углу рассеяния (кулон-магнитный  $pp$ -аналог эффекта Мотта). Все особенности энергетической и угловой зависимостей сечения  $d\sigma^{c,m.s}$  при  $E < 10$  МэВ с относительной точностью  $\sim 10^{-3}$  описываются впервые выведенной экстраполяционной формулой (16). Из нее следует менее точная параметризация  $d\hat{\sigma}^{c,m.s}$  сечения  $d\sigma^{c,m.s}$  кулон-ядерными длинами рассеяния  $A_{\ell,j}^{c,s}$  с  $j \leq 2$ .

Настоящая работа выполнена при поддержке РФФИ (проект 04-02-16828).

## ЛИТЕРАТУРА

1. *В.В. Пуньшев // ЖЭТФ 124, 1222 (2003).*
2. *V.G.J. Stoks, J.J. de Swart // Phys. Rev. C 42, 1235 (1990).*
3. *Jr. R.V. Reid // Ann. Phys. 50, 411 (1968).*
4. *N.F. Mott // Proc. Roy. Soc. London A. 124, 425 (1929).*
5. *J. Schwinger // Phys. Rev. 73, 407 (1948).*
6. *Дж. Тейлор. Теория рассеяния. М.: Мир, 1975.*
7. *Н.А. Власов. Нейтроны. М.: Наука, 1971.*
8. *H.P. Stapp, T.J. Ypsilantis, M. Metropolis // Phys. Rev. 105, 302 (1957).*
9. *R.O. Berger, L. Spruch // Phys. Rev. 138, B1106 (1965).*
10. *А.А. Квицинский // ТМФ 65, 226 (1985).*

Получено 21 июля 2005 г.

Редактор *Е. В. Калининкова*

Подписано в печать 3.08.2005.

Формат 60 × 90/16. Бумага офсетная. Печать офсетная.

Усл. печ. л. 0,5. Уч.-изд. л. 0,6. Тираж 350 экз. Заказ № 54984.

Издательский отдел Объединенного института ядерных исследований  
141980, г. Дубна, Московская обл., ул. Жолио-Кюри, 6.

E-mail: [publish@pds.jinr.ru](mailto:publish@pds.jinr.ru)

[www.jinr.ru/publish/](http://www.jinr.ru/publish/)